

## ش دراسة اثر العمق و بعض الخصائص الكيميائية للماء الارضي في ملوحة و صودية التربة باستخدام الاحصاء الجيولوجي و بيانات التحسس الثاني

احمد مهدي عبد الكاظم<sup>2</sup>

اوراس محي طه الوائلي<sup>1</sup>

كلية العلوم / نظم المعلومات

كلية الزراعة / جامعة القاسم الخضراء

[ahmed89mahdi@yahoo.com](mailto:ahmed89mahdi@yahoo.com)

[.aurassmuhi@yahoo.com](mailto:aurassmuhi@yahoo.com)

الملخص

اجريت هذه الدراسة في منطقة العزيزية التي تقع في شرق العراق في الجزء الشمالي من محافظة واسط بين خطى عرض 32°36'14.50"N الى 32°36'14.50"N الى 33°13'56.99"N شماليًّاً وخطي طول 44°52'01.65"E الى 45°20'52.70"E شرقًا. ان الهدف الرئيس من هذه الدراسة دراسة اثر العمق و بعض الخصائص الكيميائية للماء الارضي في ملوحة و نسبة امتراز الصوديوم في التربة ، ، اذ تم التنبؤ بعمق و ملوحة و نسبة امتراز الصوديوم في الماء الارضي في هذه المنطقة باستخدام التنبؤ المكانى الاعتيادي Ordinary Kriging ، فمن خلال تطبيق الموديل الكروي Spherical Model تم التنبؤ باعماق الماء الارضي في منطقة الدراسة ، اذ بلغت دقة تمثيل هذا الموديل  $R^2 = 0.9177^{**}$  . و بتطبيق الموديل الاسي Exponential Model تم التنبؤ بملوحة الماء الارضي و نسبة امتراز الصوديوم في منطقة الدراسة ، اذ بلغت دقة تمثيل هذا الموديل  $R^2 = 0.8978^{**}$  و  $R^2 = 0.9998^{**}$  . لكل من ملوحة و نسبة امتراز الصوديوم في الماء الارضي على التوالى . اما تشخيص الملوحة و نسبة امتراز الصوديوم في التربة فتم باستخدام الدليل الطيفي غير الخضري Index(NDSI) و الدليل الطيفي غير الخضري Salinity Index(SI) ، اذ تم التنبؤ بملوحة التربة و نسبة امتراز الصوديوم فيها من علاقة الانحدار المتعدد بلغت دقة الموديلات الناتجة  $R^2 = 0.9600^{**}$  و  $R^2 = 0.9826^{**}$  لكل من ملوحة و نسبة امتراز الصوديوم في التربة على التوالى .

## Study of depth and some shallow-Groundwater Chemical Characteristics impact on salinity and sodic of soil by using Geostatistics and remote sensing data

Aurass Muhi Taha AL-Waeli

Ahmed Mahdi Abdulkadium

Agric. College / Al-Qasim Green University

College of science (Information System)

### Abstract

The study Carried out in the Azizya district eastern part of Iraq , in northern of Wasit Province located between latitude 32°36'14.50"N to 33°13'56.99"N and longitude 44°52'01.65"E to 45°20'52.70"E . The main objective of this study of depth , salinity and Sodium adsorption ratio of shallow-Groundwater impact on salinity and sodium adsorption ratio of soil by using Ordinary Kriging and remote sensing data, through the application of Spherical Model predicted depths Ground water in the study area, it's reaching an accurate representation of this model  $R^2 = 0.9177^{**}$  . And applying the Model exponential Exponential Model predicted salinity and sodium adsorption ratio of shallow-Groundwater in the study area, it's reaching an accurate representation of this model  $R^2 = 0.8978^{**}$  and  $R^2 = 0.9998^{**}$  each of properties respectively. The diagnosis of salinity and the Sodium Adsorption Ratio in the soil have been using Normalized Difference Salinity Index (NDSI) and vegetative Salinity Index (SI), as was predicted salinity and sodium adsorption ratio of the soil by multiple regression relationship amounted accuracy models resulting  $R^2 = 0.9600^{**}$  and  $R^2 = 0.9826^{**}$  for each of the salinity and sodium adsorption ratio in the soil, respectively.

## المقدمة

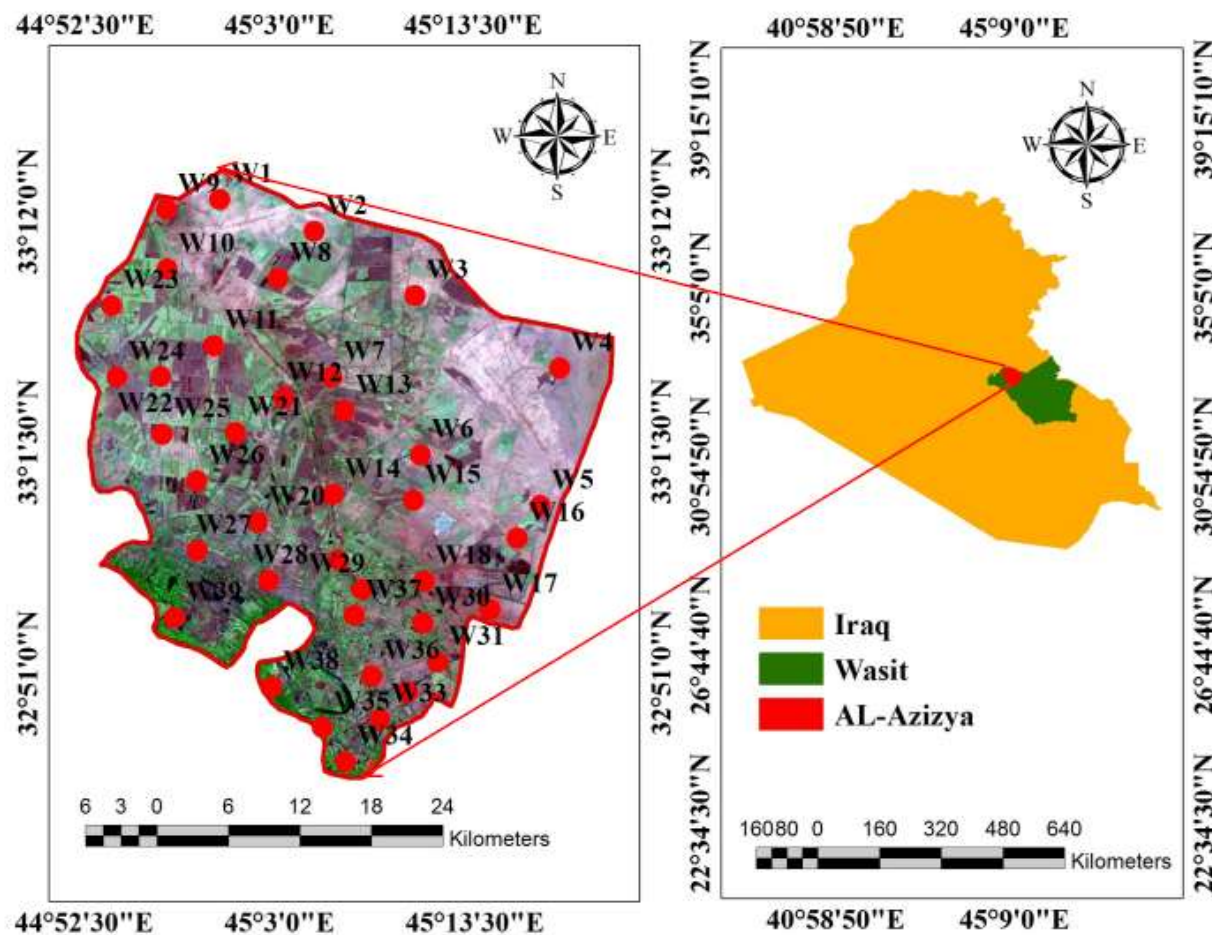
الطيبي الملحي Salinity Index(SI) من خلال ربطه بعلاقة انحدار خطى بسيط Linear Simple Regression مع قيم التراكيز الملحية المقاسة مختبرياً في هذه المنطقة ، الا ان الوالي 2013 توصل الى تشخيص ملوحة الترب باستخدام الدليل الطيفي الملحي Salinity Index(SI) في شمال بايل العراقي العلاقة انحدار غير خطية و بدالة اسية . اما Iqbal، 2010 فقد استخدم الدليل الطيفي غير الخضري Normalized Difference Salinity Index(NDSI) في تشخيص اصناف ملوحة الترب المزروعة بنباتات الحنطة و القطن ، فضلاً عن قياس اجهاد الجفاف الفسلجي التي قد يتعرض لها هذين النباتتين عند التراكيز الفلاحية العالية في التربة . و بين Lehman و اخرون ، 2015 ان لكل منطقة من العالم لها خصوصيتها و ظروفها البيئية و التكوينية الخاصة بها مما يتطلب تظافر جهود الباحثين في مجال التحسين الثاني و نظم المعلومات المكانية و مساحي الترب في بناء موديل رياضي يسهل تشخيص حالة التراكم الملحي و مخاطر الصودية التي قد تشكل عائقاً حقيقياً امام تنفيذ اهداف التنمية المستدامة في اي بلد زراعي و خاصة في المناطق الجافة من العالم ذات مادة الاصل الملحية و الماء الارضي القريب من المجموع الجذري و التي لا تخضع لبعض معظم مساحاتها الزراعية الى نظام بزل جيد . لذا تأتي هذه الدراسة كمطلوب هام في تشخيص الترب المتأثرة بالملوحة و المقاسة مختبرياً و مخاطر الصودية بدلالة SAR للتربة في منطقة العزيزية في محافظة واسط العراقية باستخدام الدليلين غير الخضراء NDSI و SI مع تشخيص اثر عمق و ملوحة و Ordinary Kriging و من ثم انتاج خرائط مركبة (خطوط كثورية لصفات الماء الارضي موزعة على خارطتي ملوحة و نسبة امتزاز الصوديوم في التربة) لبيان نمط توزيع و اثر صفات الماء الارضي المقاسة في حالة التدهور الكيميائي في ترب هذه المنطقة .

## المواد و طرائق العمل

## 1. موقع منطقة الدراسة : Study location

تقع منطقة الدراسة في شرق العراق في الجزء الشمالي من محافظة واسط بين خطى عرض 32°36'14.50"N و 32°36'13.56.99"N و طول 44°52'01.65"E و 45°20'52.70"E اذ تم تحديد 39 موقعاً وفقاً لـ Lark ، 2009 باستخدام جهاز GPS بنظام احداثي UTM و سقطت مكانيًّا على صورة فضائية التقاطها المتخصص Landsat8 في 2014/6/20 والتي تم الحصول عليها من الانترنت من المسح الجيولوجي الامريكي www.remotesensing.usgs.gov : (1)

يؤدي سوء ادارة الإنسان لموردي التربة و المياه الى نشاط عملية التملح الثانوي للترابة Anthropogenic salinization ، اذ يؤدي اهمال البزل الى رفع مستوى الماء الأرضي Shallow Groundwater للاملاح إلى منطقة المجموع الجذري مما يسبب تدهور صفات التربة الكيميائية و الفيزيائية و المعdenية و من ثم الخصوبية Marie و Vengosh ، 2001) . و يمكن الماء الأرضي Shallow Groundwater في المنطقة الفاصلة بين المياه الجوفية و منطقة Vadose Zone و يمتد تأثيره إلى سطح التربة بفعل شدة التبخر و خاصة في المناطق الجافة من العالم ، لذا فإن دراسة عمقه و خصائصه الكيميائية قد تساعده في فهم اتجاه تفاعلات التلحل و الصودية في التربة Simunek و آخرون ، 2003) . و مع ان تقرير منظمة F.A.O. 2011 بين ان 60 - 70% من ترب وسط و جنوب العراق متاثرة بدرجة خطيرة بعمليات تراكم الاملاح التي يكون مصدرها بدرجة رئيسة الماء الارضي ، الا انه قلما تعد خرائط لعمقه او لمستوى الاملاح و الصوديوم فيه ، اذ ان اهتمام الباحثين انصب عند اعداد الخرائط الهيدروجيولوجية على المياه الجوفية التي تصل اعمقها الى اكثر من 10 امتار و ذلك باعتماد اساليب الاحصاء الجيولوجي بمعادلات التتبؤ المكانى الاعتيادي Ordinary Kriging و هي في معظم الحالات مياه ذات ملائمة جيدة لري المحاصيل و النباتات الاقتصادية . و اشار Douaika و آخرون ، 2005 الى ان من اهم واجبات اعمال مسوحات الترب في المناطق المتأثرة بعمليات التراكم الملحي بفعل الماء الارضي احصاء المساحات المتدهرة و اعداد خرائط لاهم المؤشرات التي تبين مقدار التدهور فيها ، و هذا يتحقق عند اعتماد اساليب الاحصاء الجيولوجي و ضمن معادلات التتبؤ المكانى الاعتيادي Ordinary Kriging و ضمن برامجيات نظم المعلومات الجغرافية ArcGIS ، اذ اشار Brus و Heuvelink ، 2007 Ordinary Kriging الى فاعلية و دقة التتبؤ المكانى الاعتيادي في اعداد خرائط ملوحة التربة مع الحرية في اجراء اختبارات احصائية جيولوجية Geostatistics متنوعة لاختيار الموديل التنبؤى الذي يلائم نمط توزيع قيم الملوحة في منطقة الدراسة على ان يكون توزيع العينات ممثلاً لكافة التغيرات الملحوظة دون الترکيز على المناطق المتدهرة او الصالحة للزراعة منها فقط . ان اثر الماء الارضي في تملح و صودية التربة يمكن رصده عبر التزود بصور فضائية دورية لترب المنطقة المتأثرة به على أن تتكامل الدلائل الطيفية الناتجة من هذه الصور الفضائية مع المسوحات الميدانية و نتائج التحاليل المختبرية لعينات منتخبة عشوائياً ، و ذلك من خلال انتاج دلائل طيفية Jafari و آخرون ، 2008) ، اذ بينت نتائج Bouaziz و آخرون ، 2011 امكانية بناء موديل لرصد تملح الترب في شمال البرازيل باستخدام الدليل



شكل(1) : يوضح موقع منطقة الدراسة بالنسبة للعراق و موقع اخذ العينات من منطقة الدراسة و نمط توزيعها .

2

بالنسبة لعينات التربة و الماء الارضي بجهاز Ec meter و PH meter وفقاً لـ Page و اخرون، 1982، . كما استخدمت نفس الرواوش وفقاً لـ Richards، 1954 لتقدير الايونات الذائبة الموجبة ، اذ تم تقدير البوتاسيوم و الصوديوم الذائبين باستخدام جهاز قياس العناصر باللهم Flame photometer ، في حين قدر الكالسيوم و المغنيسيوم الذائبين بتسريحهما مع الفرسينيت  $\text{Na}_2\text{-EDTA}$  بتركيز 0.01 (N). و تم حساب نسبة امتزاز الصوديوم في التربة SAR و الماء الارضي من المعادلة (1) :

$$\text{SAR} = \frac{\text{Na}}{\sqrt{\frac{(\text{Ca} + \text{Mg})}{2}}} \quad [1]$$

#### العمل الحقلی و المختبری :

اخذت عينات التربة المركبة لعمق 0-30 سم من الموقع المؤشرة في الشكل (1) ، ثم جففت هوانئاً تحت درجة حرارة المختبر و فككت و مررت من منخل 2 ملم ، ثم حفظت في علب بلاستيكية . كما جمعت عينات الماء الارضي من نفس الموقع و تم ترشيحها في المختبر و اجريت عليها التحاليل الكيميائية المبنية نتائجها في الجدول (1) ، اذ تم تقدير كل من الايساليه الكهربائيه و درجة تفاعل التربة في المستخلص 1:1

جدول(1) : يبين نتائج التحاليل المختبرية لكل موقع في منطقة الدراسة.

Sites	Soil							Groundwater							Remote Sensing DATA		
	pH	dS.m <sup>-1</sup>	mmolc.L <sup>-1</sup>			SAR	m	pH	dS.m <sup>-1</sup>	mmolc.L <sup>-1</sup>			SAR	NDSI	SI		
			EC	Ca	Mg		Lev.			EC	Ca	Mg	Na				
W1	7.22	31.88	70.14	127.52	108.39	10.90	0.91	7.30	24.52	53.94	98.08	85.77	9.84	-0.12	0.15		
W2	6.87	89.83	134.75	404.24	323.39	19.70	0.71	7.05	52.84	79.26	237.78	191.72	15.23	-0.07	0.18		
W3	7.30	25.10	55.22	100.40	85.34	9.67	0.97	7.38	19.31	42.48	77.24	67.02	8.66	-0.14	0.15		
W4	7.11	60.32	90.48	271.44	217.15	16.14	0.81	7.18	35.48	53.22	159.66	128.23	12.43	-0.10	0.17		
W5	7.15	38.38	84.44	153.52	130.49	11.96	0.86	7.24	29.52	64.94	118.08	103.77	10.85	-0.11	0.17		
W6	7.60	9.91	27.75	35.68	31.71	5.63	1.16	7.64	9.01	19.82	36.04	29.94	5.67	-0.21	0.13		
W7	7.54	12.03	33.68	43.31	38.50	6.21	1.11	7.57	10.94	24.07	43.76	36.88	6.33	-0.19	0.14		
W8	7.27	26.81	58.98	107.24	91.15	10.00	0.95	7.36	20.62	45.36	82.48	71.73	8.97	-0.14	0.15		
W9	7.47	14.80	41.44	53.28	47.36	6.88	1.06	7.50	13.45	29.59	53.80	45.92	7.11	-0.18	0.13		
W10	7.96	3.37	12.13	10.78	9.44	2.79	1.33	7.84	4.82	17.35	17.42	11.00	2.64	-0.32	0.11		
W11	7.55	11.51	32.23	41.44	36.83	6.07	1.13	7.59	10.46	23.01	41.84	35.16	6.17	-0.19	0.13		
W12	7.65	8.76	24.53	31.54	28.03	5.29	1.20	7.68	7.96	28.66	27.47	19.79	3.74	-0.23	0.12		
W13	7.35	21.28	46.82	85.12	72.35	8.91	1.01	7.44	16.37	36.01	65.48	56.43	7.92	-0.17	0.12		
W14	7.98	3.21	11.56	10.27	8.99	2.72	1.34	7.86	4.58	16.73	16.35	10.41	2.56	-0.31	0.12		
W15	7.34	22.17	48.77	88.68	75.38	9.09	1.00	7.42	17.05	37.51	68.20	58.88	8.10	-0.16	0.14		
W16	7.21	32.47	71.43	129.88	110.40	11.00	0.90	7.30	24.98	54.96	99.92	87.43	9.94	-0.13	0.14		
W17	7.18	35.04	77.09	140.16	119.14	11.43	0.88	7.27	26.95	59.29	107.80	94.52	10.34	-0.12	0.14		
W18	7.17	36.53	80.37	146.12	124.20	11.67	0.87	7.26	28.1	61.82	112.40	98.66	10.57	-0.11	0.15		
W19	7.87	3.03	10.91	9.70	8.48	2.64	1.34	7.86	4.58	16.22	14.42	12.61	3.22	-0.33	0.12		
W20	7.43	16.59	46.45	59.72	53.09	7.29	1.03	7.46	15.08	33.18	60.32	51.79	7.57	-0.16	0.13		
W21	7.66	8.46	23.69	30.46	27.07	5.20	1.20	7.69	7.69	27.68	26.61	19.55	3.75	-0.23	0.12		
W22	7.45	15.90	44.52	57.24	50.88	7.13	1.04	7.48	14.45	31.79	57.80	49.52	7.40	-0.17	0.14		
W23	7.94	3.65	13.14	11.68	10.22	2.90	1.30	7.82	5.22	18.79	17.99	12.12	2.83	-0.23	0.14		
W24	7.54	11.95	33.46	43.02	38.24	6.18	1.12	7.57	10.86	23.89	43.44	36.60	6.31	-0.19	0.14		
W25	7.44	16.39	45.89	59.00	52.45	7.24	1.03	7.47	14.9	32.78	59.60	51.14	7.52	-0.16	0.15		
W26	6.93	76.21	114.32	342.95	274.36	18.14	0.75	7.10	44.83	67.25	201.74	161.89	13.96	-0.08	0.14		
W27	7.98	3.24	11.66	10.37	9.07	2.73	1.34	7.86	4.63	17.01	16.84	10.46	2.54	-0.27	0.12		
W28	7.67	8.12	22.74	29.23	25.98	5.10	1.22	7.70	7.38	26.57	25.62	18.16	3.55	-0.23	0.12		
W29	7.33	22.32	49.10	89.28	75.89	9.12	1.00	7.42	17.17	37.77	68.68	59.31	8.13	-0.15	0.14		
W30	6.87	90.17	135.26	405.77	324.61	19.74	0.71	7.05	53.04	79.56	238.68	192.44	15.26	-0.07	0.12		
W31	6.92	77.71	116.57	349.70	279.76	18.32	0.74	7.10	45.71	68.57	205.70	165.06	14.10	-0.08	0.13		
W32	6.93	74.44	111.66	334.98	267.98	17.93	0.76	7.11	43.79	65.69	197.06	158.14	13.80	-0.08	0.16		
W33	7.64	8.83	24.72	31.79	28.26	5.32	1.19	7.67	8.03	17.67	32.66	26.41	5.26	-0.22	0.12		
W34	7.73	6.83	24.59	21.86	19.12	3.97	1.26	7.76	6.21	22.36	21.87	14.89	3.17	-0.26	0.12		
W35	7.92	3.90	14.04	12.48	10.92	3.00	1.30	7.81	5.39	19.40	19.25	12.59	2.86	-0.39	0.11		
W36	6.89	85.56	128.34	385.02	308.02	19.23	0.72	7.06	50.33	75.50	226.49	182.69	14.87	-0.07	0.16		
W37	7.22	31.62	69.56	126.48	107.51	10.86	0.91	7.31	24.32	53.50	97.28	85.05	9.80	-0.13	0.15		
W38	7.89	4.17	15.01	13.34	11.68	3.10	1.27	7.77	5.95	21.42	21.04	14.16	3.07	-0.30	0.11		
W39	7.90	4.04	14.54	12.93	11.31	3.05	1.29	7.80	5.45	19.62	19.44	13.76	3.11	-0.40	0.11		

### 3. اعداد خرائط صفات الماء الارضي بوسائل الاحصاء الجيولوجي

تم اجراء التحليل المكاني لصفات الماء الارضي المقاسة ضمن برنامج ArcGIS 10.2.1 وفقاً لمعادلة التغاير الموزون Variogram وفقاً لـ Lichtenstern ، 2013 و كالتالي :

$$2 \gamma(\mathbf{h}) = \frac{1}{n(\mathbf{h})} \sum_{i=1}^{n(\mathbf{h})} [\mathbf{Z}(x_i) - \mathbf{Z}(x_i + \mathbf{h})]^2 \dots [2]$$

، اذ ان  $x_i$  متغير ما يبتعد عن المتغير  $x_i + h$  بازاحة مكانية مقدارها  $h$  ، و باسلوب Ordinary Kriging ضمن برنامج Arc Map و Spherical Model تم التنبؤ باعمق الماء الارضي في منطقة الدراسة و كالتالي :

$$\gamma_{a,b}^{sph}(\mathbf{h}) = \begin{cases} b \left( \frac{3|h|}{2a} - \frac{1}{2} \left( \frac{|h|}{a} \right)^3 \right), & \text{if } 0 \leq |\mathbf{h}| \leq a \\ b, & \text{otherwise} \end{cases} \dots [3]$$

اما التنبؤ بملوحة و نسبة امتراز الصوديوم في الماء الارضي فتم بتطبيق الموديل الاسي Exponential Model و كالتالي :

$$\gamma_{a,b}^{exp}(\mathbf{h}) = b \left( 1 - e^{-\frac{|h|}{a}} \right) \text{ for } |\mathbf{h}| \geq 0, C_{a,b}^{exp}(\mathbf{h}) = b e^{-\frac{|h|}{a}} \text{ for } |\mathbf{h}| \geq 0, \dots [4]$$

4. صنفت خارطة ملوحة الماء الارضي وفقاً لـ S. O. L. R. 1982 و كما في الجدول (2)

ان مبررات استخدام هذا التصنيف تكون الماء الذي يقع اسفل منطقة Vadose Zone يشابه كيميائياً في صفاتها الطبقه الاخيره من التربة و غالباً ما تكون قيمه خارج مديات تصنيف المياه المتعارف عليها في ادبيات نوعيه الماء الجوفي او ماء الري و البزل لذا استخدمنا هذا التصنيف كنوع من الصلة بين التركيب الكيميائي الملحي لهذا الماء و طبقات التربة التي تقع فوقه مباشرة ، اما نسبة امتراز الصوديوم في الماء الارضي فصنفت و فقاً للحدود التي اشار اليها Seilsepour و اخرون ، 2009 .

، اذ  $\gamma_{a,b}^{sph}$  تمثل دالة التنبؤ المكاني للموديل الكروي و  $a$  المدى و  $b$  عتبة ثبات المسافة بين قيم المتغير المكاني و  $\gamma_{a,b}^{exp}$  تمثل دالة التنبؤ المكاني الاسية .

2. اختبار دقة تنفيذ الموديل الكروي و الاسي تمت بقياس درجة الانحدار الخطى بين القيم المستخلصة Kriging Value و صفات التربة المقاسة مختبرياً Actual Value ضمن برنامج Microsoft Excel الاصدار 2010 .

3. انتاج خرائط صفات الماء الارضي المقاسة تم بصيغة Raster Layer و بصيغة Vector Layer (خطوط كنترولية) لاجل وضعها فوق خرائط ملوحة و صودية التربة الناتجة من البيانات الفضائية .

جدول(2):بيان اصناف ملوحة التربة وفقاً لـ S. O. L. R. 1982

Symbol	Class Description	EC dS.m <sup>-1</sup>
S <sub>0</sub>	Very Slightly Saline Soil	0 - 4
S <sub>1</sub>	Slightly Saline Soil	4 - 8
S <sub>2</sub>	Moderately Saline Soil	8 - 16
S <sub>3</sub>	Strongly Saline Soil	16 - 25
S <sub>4</sub>	Very Strongly Saline Soil	25 - 50
S <sub>5</sub>	Extremely Saline Soil	> 50

2. بناء المؤشرات التنبؤية

و لبناء موديلات تنبؤية تنتج ادق خرائط لتمثيل ملوحة و نسبة امتراز الصوديوم في التربة و بعد اختبار عدد كبير من الدلائل الطيفية الخضرية و غير الخضرية تبين لنا ان افضل الدلائل للتمثيل ملوحة و نسبة امتراز الصوديوم في التربة في منطقة الدراسة هما الدليل الطيفي غير الخضري Normalized Difference Salinity Index(NDSI) و الدليل الطيفي غير الخضري Salinity Index(SI) و كما مبين في المعادلتين ادناه

المتعدد في برنامج SPSS 21 و ضمن طريقة Forward method بغية تحديد افضل العلاقات التنبؤية ، اذ تم التنبؤ بملوحة التربية من علاقة الانحدار المتعدد (7) ونسبة امتزاز الصوديوم في التربة SARs من علاقة الانحدار المتعدد (8) و كالتالي :

$$SAR_s = -1024.503 + 631.283e^{NDSI} - 445.430NDSI - 51.869 \ln SI \\ + 279.585 e^{SI} \dots \dots \dots \dots \dots \dots \quad R^2 \equiv 0.983^{**} \dots [8]$$

## ١. عمق الماء الارضي :

بتطبيق الموديل الكروي Spherical Model في المعادلة (3) تم التنبؤ باعماق الماء الارضي في منطقة الدراسة ، اذ بلغت دقة تمثيل هذا الموديل لاعماق الماء الارضي  $R^2 = 0.9177^{**}$  و كما في الشكل (2) :

#### **٤. اعداد خرائط ملوحة و صودية التربة**

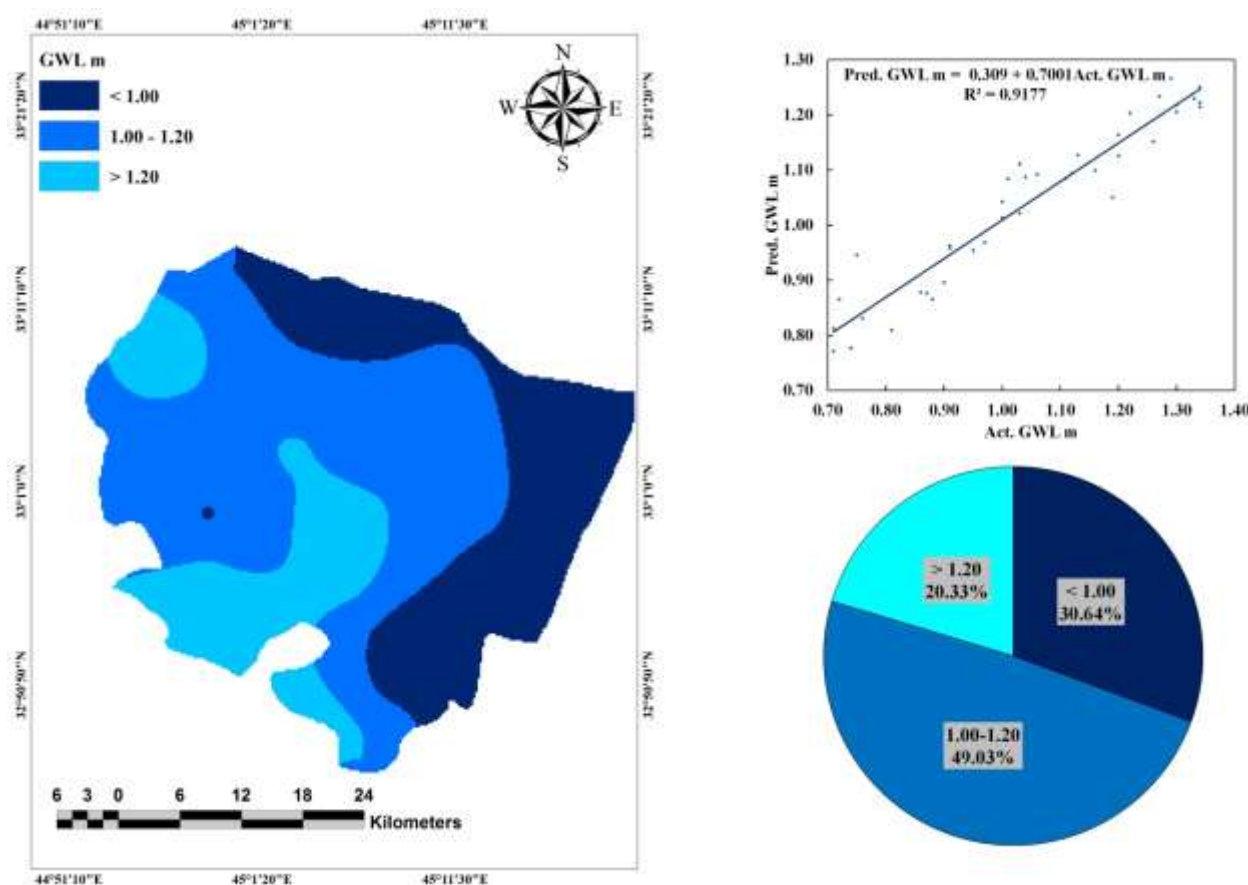
## ١. معالجة البيانات الفضائية

استخدمت الحزم الطيفية الفضائية العائدة للمتحسس Landsat8 ، ثم اخضعت لجميع انواع المعالجات الاساسية الخاصة بالبيانات الفضائية بغية إزالة جميع مصادر التشويه وفقاً لنموذج FLAASH (Fast Line of sight Atmospheric Analysis of Spectral Hypercube model) ، ثم استقطعت منطقة الدراسة و ذلك باتباع الخطوات الاساسية التي اوردها Wu، 2011 في برنامج ENVI 5

، استخلصت قيم الدليلين NDSI و SI ببرنامج ArcGIS10.2.1 للموقع و كما مبينة قيمها في الجدول (1) ثم اجري اختبار الانحدار البسيط باستخدام برنامج Microsoft Excel بصيغ خطية و لوغارتمية و أسيّة مع الملوحة المقاسة مختيرياً و نسبة امتزاز الصوديوم في التربة و من ثم الانحدار

ثم طبق الموديل التنبؤي (7) و (8) في برنامج ENVIS5 وبعد التخلص من القيم الشاذة السالبة و الموجبة العالية جدا صنفت خارطة ملوحة التربية وفقاً لـ S. O. L. R. 1982، كما في الجدول (2) اما نسبة امتزاز الصوديوم في التربة فصنفت وفقاً للحدود التي اشار اليها Seilsepour و اخرون، 2009.

النتائج و المناقشة :



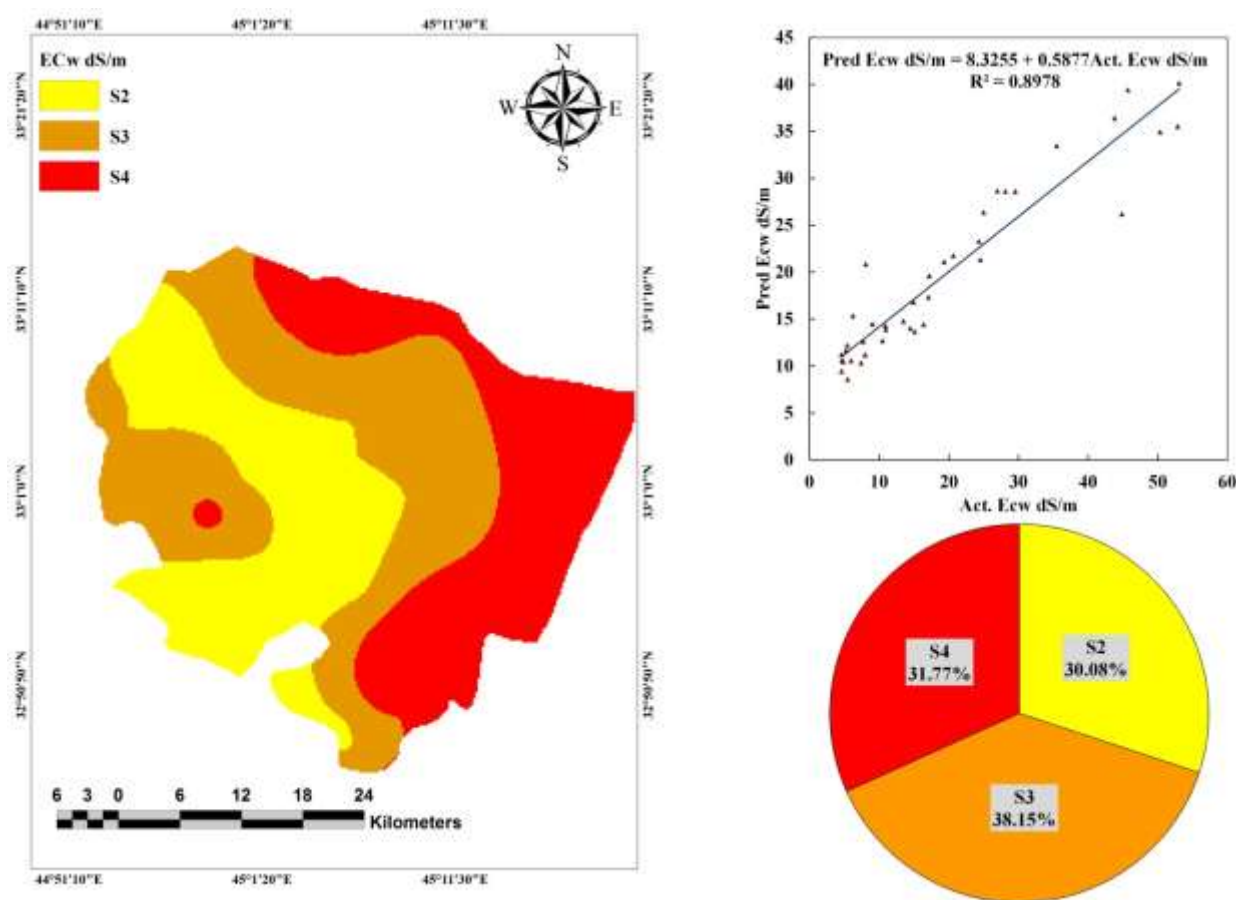
الشكل(2) : يوضح دقة تمثيل الموديل الكروي Spherical Model لاعمق الماء الارضي (م) و توزيع اصنافه في منطقة الدراسة .

لضعف اثر الماء الارضي في تملحها Simunek و آخرون ، 2003 . اما المنطقة التي يتذبذب عمق الماء الارضي فيها بين 1.00-1.20 م و التي تشكل 49.03 % اي 69460.34 فهى مهددة جدياً بالتدحرج الكيميائى بفعل ملوحة و صودية الماء الارضي و هي في الغالب منطقة زراعية خصبة لكنها لم تستغل لمدة اكثر من عشرة سنوات اي منذ 2004 بسبب الجفاف و قلة الموارد المائية في المنطقة الوسطى و الجنوبية و عدم ملائمة او الكلفة الاقتصادية العالية للبدائل المائية الأخرى .

## 2.ملوحة الماء الارضي

بتطبيق الموديل الاسى Exponential Model في المعادلة (4) تم التنبؤ بملوحة الماء الارضي في منطقة الدراسة ، اذ بلغت دقة تمثيل هذا الموديل لملوحة الماء الارضي  $R^2 = 0.8978^{**}$  كما في الشكل (3) :

كما يلاحظ من الشكل (2) ان عمق الماء الارضي لاقل من 1.00 م يتركز في شرق منطقة الدراسة غير المستغلة في معظمها لاغراض الزراعة بسبب تدهورها الكيميائي و تحول معظم تربتها لصخاري ملحية ، اذ تقع اغلبها عند نهايات مباريز المناطق الزراعية و التي تشكل 30.64 % من مساحة منطقة الدراسة اي 43407.40 هكتار ، في حين يلاحظ ان اغلب المناطق الزراعية في الجانب الغربي من منطقة الدراسة و التي تشكل 20.33 % من مساحة منطقة الدراسة اي 28801.32 هكتار يكون عمق الماء الارضي فيها اكثراً من 1.20 م كونها محاذية لنهر دجلة و الفتوان الاروائية الرئيسية التي تكون نسجاتها متوسطة الى خشنة بفعل ظروف ترسيب الترب النهرية Alluvial soils (AL-Shammary, 2008) مما يسهل حركة الماء الارضي فيها الى اعمق من 1.20 م و بالتالي يزداد سمك طبقة Vadose Zone في هذه الترب و الذي يعد مؤمراً جيداً



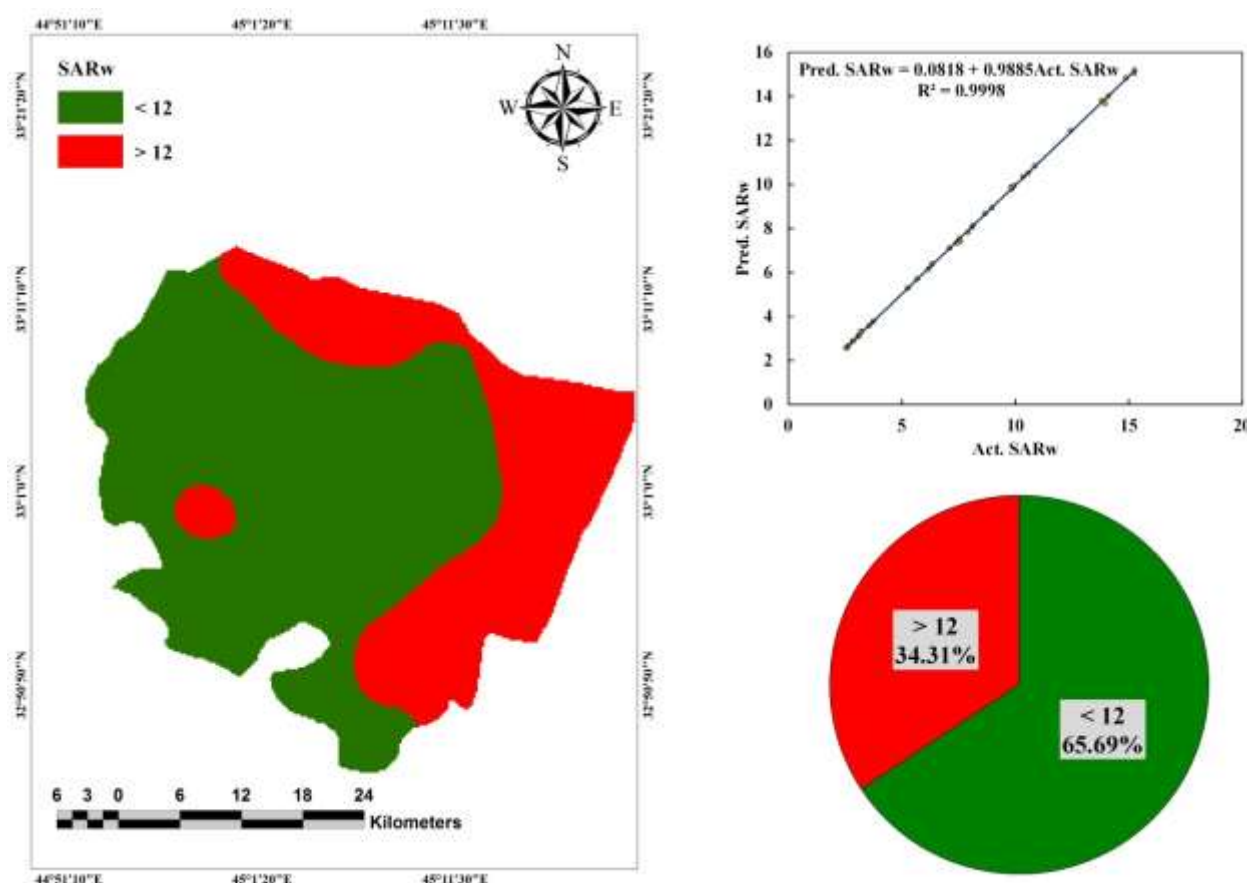
الشكل(3) : يوضح دقة تمثيل الموديل لاسي Exponential Model لملوحة الماء الارضي  $dS.m^{-1}$  و توزيع اصنافها ضمن منطقة الدراسة.

30.08% من مساحة منطقة الدراسة اي 42614.05 هكتار و التي تتصف بكونها ترب مزروعة بصورة مستمرة و تستخدم نوعيات ملائمة للري فيفترض حصول تخفيض كبير في مستوى ملوحة الماء الارضي ، الا ان ميل ملوحة الماء الارضي في هذه المنطقة للاتزان مع الماء الارضي في المناطق المتملحة المجاورة لها يسمح بزيادة مستوى الى اعلى من المستويين (S0) و (S1) في المناطق الجافة من العالم (Al-Zarah, 2008).

### نسبة امتراز الصوديوم في الماء الارضي

بتطبيق الموديل الاسي Exponential Model في المعادلة (4) تم التنبؤ بنسبة امتراز الصوديوم في الماء الارضي SARw في منطقة الدراسة ، اذ بلغت دقة تمثيل هذا الموديل نسبة امتراز الصوديوم في الماء الارضي  $0.9998^{**} R^2 = 0.9998^{**}$  كما في الشكل (4) :

كما يلاحظ من الشكل (3) ان شرق منطقة الدراسة ذات ماء ارضي عالي الملوحة جداً (S4) ، اذ تتراوح ملوحته بين 25 – 50 ديسمنزم<sup>-1</sup> و تشكل 31.77% من مساحة منطقة الدراسة اي 45008.26 هكتار و تحيط بها في وسط منطقة الدراسة الترب ذات الماء الارضي العالي الملوحة (S3) اذ تتراوح ملوحته بين 16 – 25 ديسمنزم<sup>-1</sup> و تشكل 38.15% من مساحة منطقة الدراسة اي 54046.75 هكتار و تتصف هاتين المنطقتين بضعف الغطاء النباتي فيها و خروجها بشكل تام من نطاق الترب الزراعية مما اسهم في زيادة تراكيز ملوحة الماء الارضي بسبب التبخر العالى ضمن منطقة تذبذب الماء الارضي اقل من 1.20 م القريب من سطح التربة و الذي يسمح باعادة ذوبان هذه الاملاح بتراكيز اعلى ضمن محلول الماء الارضي مما يزيد من مخاطر انساع اثراها الملحى في المناطق الزراعية المجاورة ، اذ يلاحظ ان ملوحة الماء الارضي متوسطة (S2) اي تتراوح ملوحته بين 8 – 16 ديسمنزم<sup>-1</sup> في غرب منطقة الدراسة و التي تشكل



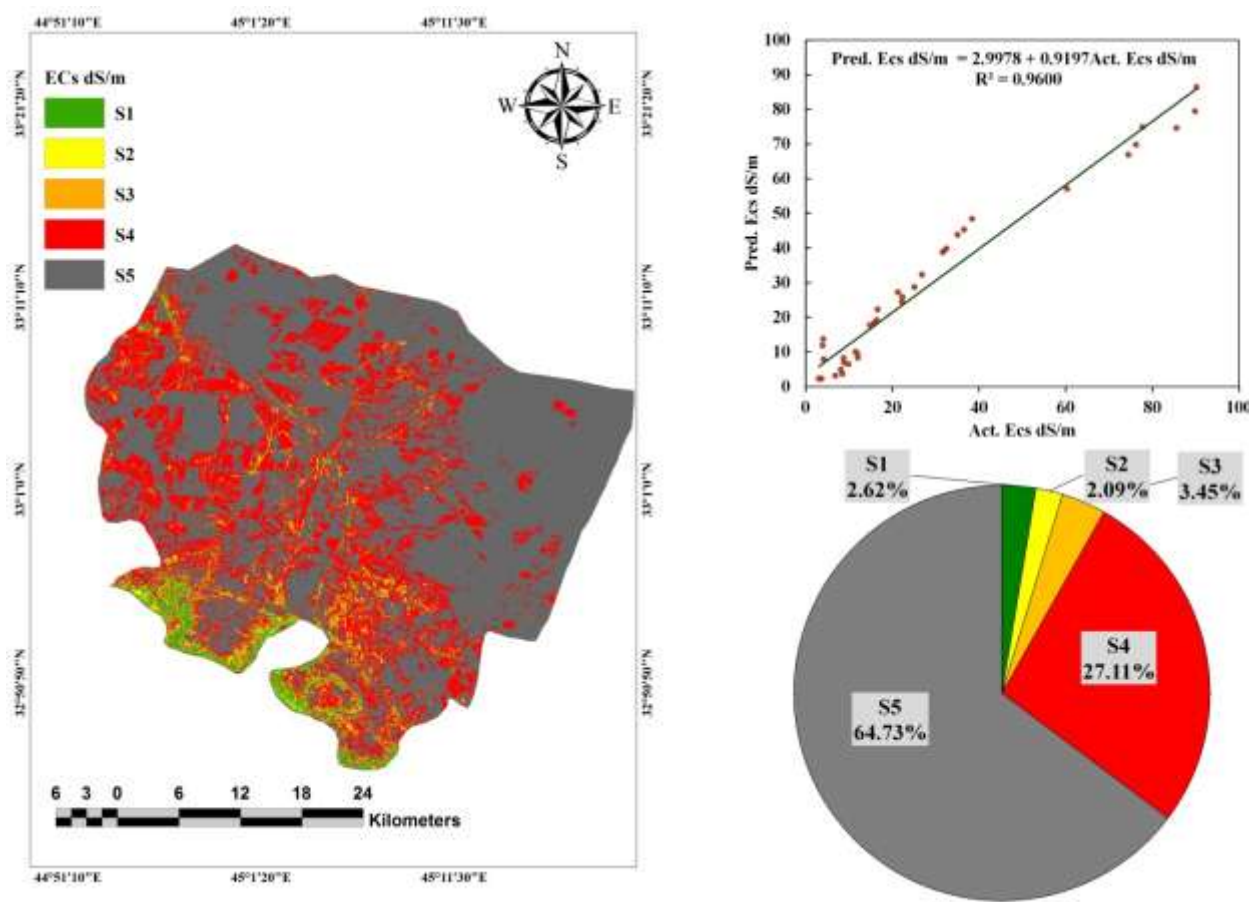
الشكل(4) : يوضح دقة تمثيل الموديل الاسي Exponential Model لنسبة امتراز الصوديوم في الماء الارضي و توزيع اصنافها ضمن منطقة الدراسة.

الاقتصادية و هذا ما بينه المسح الميداني و الصورة الفضائية ، اذ غالب على المنطقة مظاهر الصحراء الملحية الخالية من الغطاء النباتي الاخضر .

#### 4. اثر صفات الماء الارضي المقاسة في ملوحة التربة

بتطبيق علاقة الانحدار المتعدد في المعادلة (7) تم التنبؤ بملوحة التربة في منطقة الدراسة ، اذ بلغت دقة تمثيل هذه المعادلة لتمثيل توزيع تركيز ملوحة التربة المقاسة مختبرياً  $R^2 = 0.9600^{**}$  كما في الشكل (5) :

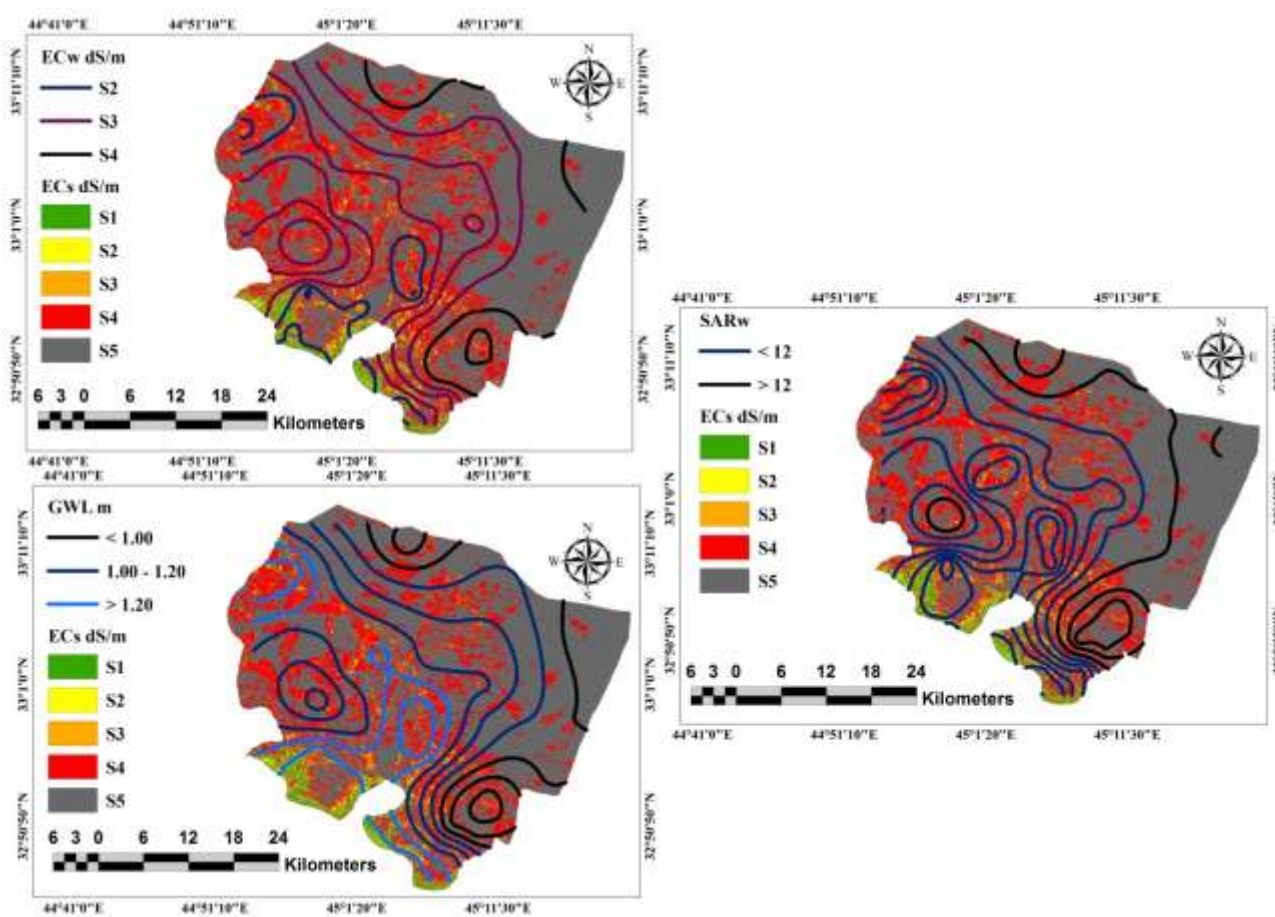
كما يلاحظ من الشكل (4) ارتفاع نسبة امتراز الصوديوم في الماء الارضي في شرق منطقة الدراسة لاكثر من 12 ، اذ تشكل 34.31% من مساحة منطقة الدراسة اي 48606.65 هكتار في حين تشكل المنطقة التي يشغلها الماء الارضي ذو نسبة امتراز الصوديوم الاقل من 12 65.69% من منطقة الدراسة اي 141669.06 هكتار ، اذ بين Jorenush و Sepaskhah، 2003 ان ارتفاع نسبة امتراز الصوديوم في الماء الارضي يمثل نتاجاً مباشراً للادارة السيئة لمورد المياه و نمط توزيعه في المنطقة و هو الذي يسهم بفاعلية في نشوء الترب الملحة و التي من ابرز مظاهرها اعتدال نمو و تعدد المجموع الجذري للنباتات



الشكل(5) : يوضح دقة تمثيل علاقة الانحدار المتعدد في المعادلة (7) لقيم ملوحة التربة المقاسة مختبرياً و توزيع اصنافها في منطقة الدراسة .

نمط توزيع اصناف ملوحة التربة في هذه المنطقة يشابه الى حد كبير ما توصلت اليه مسوحات ملوحة التربة التي اجرتها الوائلي ، 2013 باستخدام الدلائل الطيفية الخضرية ، اذ شخص سيادة الصنفين S0 و S1 في المناطق ذات الاستخدام الزراعي الكثيف على حساب الصنفين S2 و S3 . كما ازدادت مساحة الصنف S4 على حساب هذين الصنفين في المناطق غير المستغلة زراعياً بفعل نشاط عملية التملح في منطقة المسبب بفعل الظروف الموقعة التي تسمح بترابك الاملاح و خاصة في نهايات المbazل او التي تستخدم فيها مياه البزل دون تحفيظ بمياه اقل ملوحة و بنوعية ملائمة لاغراض الري . الا اننا نؤكد في هذه الدراسة اضافة الى ما سبق دور عمق الماء الارضي و ملوحته و نسبة امتزاز الصوديوم فيه في نشاط تراكم الاملاح في التربة ، اذ بين توسيع الخطوط الكنتورية في الشكل (6) ان اعمق الماء الاقل من 1.20 م تمر فيها الخطوط الكنتورية فوق الصنفين (S4) و (S5) بدرجة رئيسة و احياناً الصنف (S3) اما الماء الارضي الذي يزيد عمقه عن 1.20 م فيكون مرور خطوطه الكنتورية فوق الصنفين (S2) و (S1) .

كما يلاحظ من الشكل (5) اختفاء الصنف (S0) نهائياً و الذي يعني نشاط عملية التملح حتى في المناطق الزراعية و التي صار يمثلها واقعياً الصنف (S1) و الذي لا يزيد عن 2.62% من مساحة منطقة الدراسة اي 3711.73 هكتار . كما يلاحظ ان صنف الملوحة المتوسطة (S2) يشكل 2.09% من مساحة منطقة الدراسة اي 2960.88 هكتار و صنف العالي الملوحة (S3) يشكل 3.45% من مساحة منطقة الدراسة اي 4887.58 هكتار ، في حين يشكل الصنف العالي الملوحة جداً (S4) 27.11% اي 38406.48 هكتار و الصنف شديد الملوحة (S5) يشكل 64.73% من مساحة منطقة الدراسة اي 91702.38 هكتار . و اذا اعتربنا ان الاصناف الثلاثة (S1 و S2 و S3) تمثل الترب التي بالامكان استصلاحها او تدارك مخاطر الملوحة فيها فان هذه الترب تشكل 91.84% فقط من مساحة المنطقة اما 8.16% فانها تمثل ترب خضعت بصورة فعلية لعمليات التراكم الملحي الشديدة و لفترة طويلة من الزمن نتيجة عدم الاستغلال الامثل لموردن التربة و هي نسب تعكس مدى اهمال هذا المورد الاقتصادي الهام بشكل خطير في هذه المنطقة الزراعية الهامة من العراق . ان



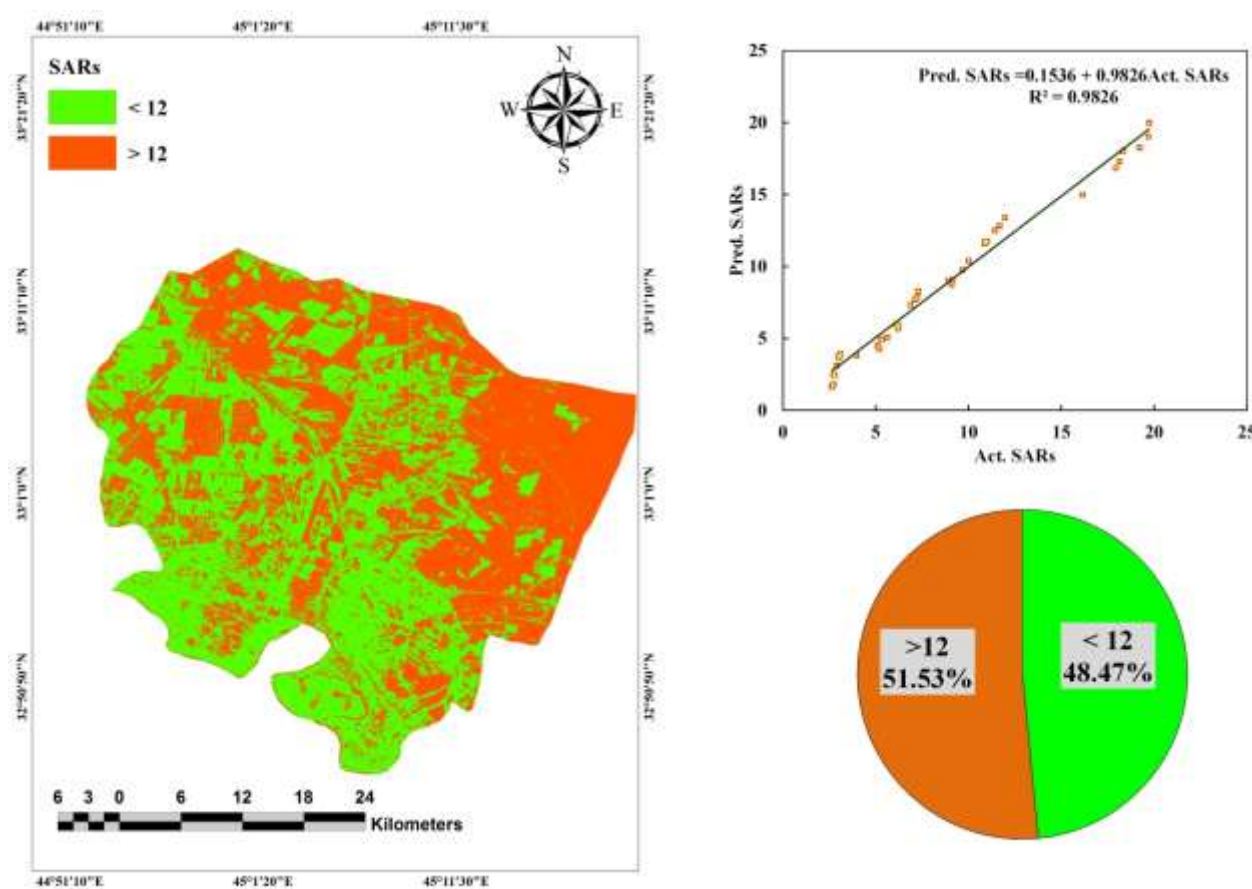
الشكل(6) : يوضح توزيع الخطوط الكنتورية لصفات الماء الارضي المقاسة فوق اصناف ملوحة التربة في منطقة الدراسة .

تحمله من نواتج تجوية و التي تعود إلى عصري البلايوستوسين و الهولوسين الغنية بالكلس و التي تتحرك نحو سطح التربة بفعل الخاصية الشعيرية فتمثل هذه المياه وسيلة فعالة لنقل نواتج تجوية الصخور الكلسية من المياه الجوفية الى طبقة الماء الارضي و من ثم إلى اجزاء التربة العليا مع إعطاء دور واضح للتفاعلات الجيوكيميائية المسؤولة عن تحرر الكلسيوم و اتحاده فيما بعد مع الكلوريد الذائب على حساب الصوديوم الذائب ليكون ملح كلوريدي الكلسيوم المسؤول عن تكون التربة السبخة في تلك المنطقة Al-Sulaimi و Al\_Hurban . 2009.

#### 5. اثر صفات الماء الارضي المقاسة في نسبة امتزاز الصوديوم في التربة

بتطبيق علاقة الانحدار المتعدد في المعادلة (8) تم التنبؤ بنسبة امتزاز الصوديوم في تربة في منطقة الدراسة ، اذ بلغت دقة تمثيل هذه المعادلة لتمثيل توزيع نسبة امتزاز الصوديوم المقاسة مختبرياً  $R^2 = 0.9826^{**}$  كما في الشكل (7) :

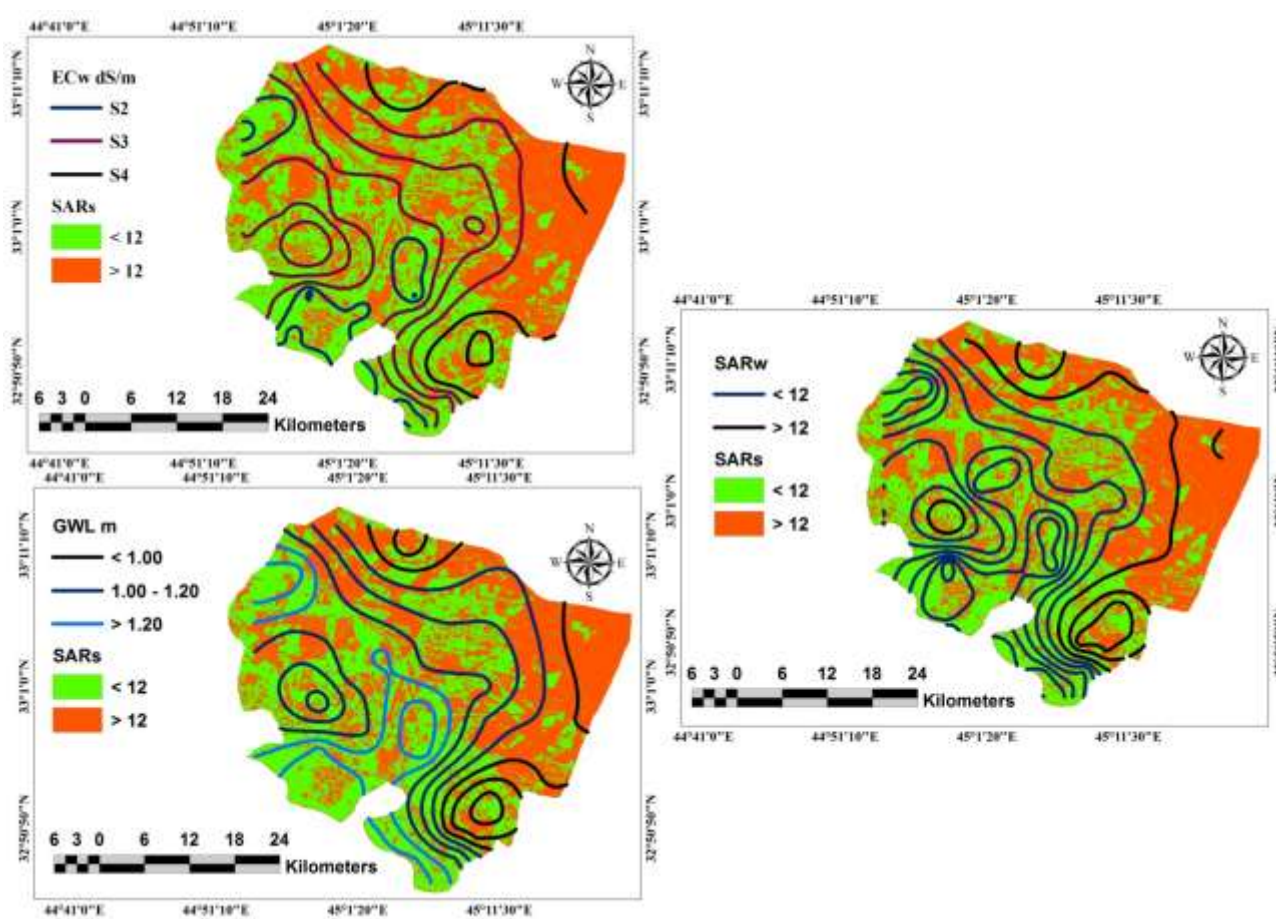
كما يلاحظ الدور الجوهري لملوحة الماء الارضي في زيادة التراكم الملحي في التربة ، اذ مررت الخطوط الكنتورية للصنفين (S4) و (S3) بدرجة رئيسة فوق اصناف ملوحة التربة (S3) و (S4) و (S5) و الى حدٍ ما من خط كنتور صنف ملوحة الماء الارضي (S3) فوق صنفي ملوحة التربة (S2) و (S1) و خاصة في الجزء الجنوبي من منتصف منطقة الدراسة اي من منطقة الحد الفاصل بين الخصائص الكيميائية المتباينة لمحظول الماء الارضي و التي تحاول الميل دائمًا نحو الاتزان الترموديناميكي بالنسبة للايونات الذائبة فيها (Al-Zarah, 2008). كما يظهر الشكل(6) ان خطوط الكنتور للماء الارضي الذي ترتفع فيه نسبة امتزاز الصوديوم عن 12 تمر فوق الصنفين (S4) و (S5) بدرجة رئيسة و احياناً الصنف (S3) اما خط كنتور الماء الارضي الذي تنخفض فيه نسبة امتزاز الصوديوم عن 12 قتمر فوق كافة اصناف ملوحة التربة و بدرجات متفاوتة ، و قد يكون السبب مرتبط بالتركيب الكيميائي للماء الارضي و محاولته للاتزان مع التركيب الكيميائي للمياه الجوفية في المنطقة و ما



الشكل(7) : يوضح دقة تمثيل علاقة الانحدار المتعدد في المعادلة (8) لقيم نسبة امتراز الصوديوم في التربة و توزيع اصنافها في منطقة الدراسة .

في حين تكون نسبة امتراز الصوديوم في التربة الاقل من 12 تشكل 48.47% من مساحة منطقة الدراسة اي 68666.99 هكتار في المناطق التي يزيد فيها عمق الماء الارضي عن 20 م و ضمن مناطق انتشار الصنف (S2) من ملوحة الماء الارضي و نسبة امتراز الصوديوم الاقل من 12 و كما يتبيّن من مواضع الخطوط الكتتوية لصفات الماء الارضي المقاسة فوق خارطة امتراز الصوديوم في التربة في الشكل (8) و كالتالي :

يلاحظ من الشكل (7) ان مخاطر ارتفاع نسبة امتراز الصوديوم في التربة عن 12 تشكل 51.53% من مساحة منطقة الدراسة اي 73002.07 هكتار و هي تنتشر في الاجزاء الشرقية من منطقة الدراسة و بدرجة رئيسة ضمن المناطق التي تؤثر فيها صفات الماء الارضي المقاسة سلباً في زيادة نسبة امتراز الصوديوم في التربة ، اذ توصل الوائلي ، 2013 عند دراسته لنسبة امتراز الصوديوم في الماء الارضي في وسط العراق وجود علاقة عالية المعنوية في زيادة نسبة امتراز الصوديوم في التربة



الشكل(8) : يوضح توزيع الخطوط الكنتورية لصفات الماء الارضي المقاسة فوق اصناف نسبة امتزاز الصوديوم في ترب منطقة الدراسة .

2. يمكن تكامل نتائج التنبؤ المكانى لصفات الماء الارضي مع خرائط ملوحة و صودية التربة الناتجة من بيانات التحسس الثنائي .

#### المصادر العربية والاجنبية

الوايلي ، اوراس محي طه . 2013 . تشخيص الترب المتأثرة بالملوحة في مشروع المسيدب . اطروحة دكتوراه ، كلية الزراعة ، جامعة بغداد .

Al-Hurban , A . and J . S . Al-Sulaimi . 2009 . Recent surface sediments and landform of the southern area of Kuwait . European Journal of Scientific Research . 38 (2) : 272 – 295 .

AL-Shammary, S. H. E. 2008. Hydrogeology of Galal Basin – Wasit – East Iraq. Ph.D. Thesis. College of Science, Univ. of Baghdad.

Al-Zarah , A . I . 2008 . Chemistry of groundwater of Al-Ahsa Oasis estern region

يلاحظ من الشكل (8) ان خط الكنتور لعمق الماء الارضي الاقل من 1.00 م يمر فوق الترب التي تزيد فيها نسبة امتزاز الصوديوم عن 12 مما يؤشر المساهمة الفعالة للماء الارضي في ارتفاع مخاطر الصودية في التربة و ان كانت في حقيقة الامر انها مناطق غير زراعية و صحاري ملحية سبخة ، و مع ان اصناف ملوحة الماء الارضي (S2 و S3 و S4) و ان تبدو قد مرت فوق الترب التي تنخفض او تزيد فيها نسبة امتزاز الصوديوم عن 12 الا ان الصنف (S4) قد مر في مناطق لا تقل فيها نسبة امتزاز الصوديوم عن 10 و الصنف (S3) قد مر في مناطق لا تقل فيها نسبة امتزاز الصوديوم عن 7 كحد ادنى . كما يلاحظ بشكل جلي انطباق خطوط الكنتور لنسبة امتزاز الصوديوم في الماء الارضي فوق النسب التي تمثلها في التربة باشتقاء الجزء الجنوبي من وسط منطقة الدراسة ، اذ يتداخل و يمر خط كنتور SARs فوق SARw التربة و هو ما ببرناه بمحاولة الماء الارضي للتزوّع نحو الاتزان الترموديناميكي .

#### الاستنتاجات

1. أهمية و فاعلية التنبؤ المكانى في تفسير اثر عمق و خصائص الماء الارضي في التدهور الكيميائى للتربة .

- Lehman , R . M . , C. A. Cambardella , D. E. Stott , V. Acosta-Martinez , D. K. Manter , J. S. Buyer , J. E. Maul , J. L. Smith , H. P. Collins , J. J. Halvorson , R. J. Kremer , J. G. Lundgren , T. F. Ducey, V. L. Jin and D. L. Karlen . 2015 . Understanding and Enhancing Soil Biological Health : The Solution for Reversing Soil Degradation . Sustainability . 7: 988-1027.
- Marie , A . and A . Vengosh . 2001 . Sources of salinity in groundwater from Jericho valley . Ground Water . 39 : 240 – 248 .
- Page , A.L., R.H. Miller, and D.R. Kenney. 1982. Methods of Soil Analysis Part (2). 2nd ed. Agronomy 9 Am. Soc. Agron. Madison, Wisconsin.
- Richards, L.A. 1954. Diagnosis and improvement of saline and alkalin soils. U.S.D.A. Handbook No. 60.
- S.O.L.R. 1982 . Specification for soil Survey and hydrological investigations in Iraq . State Organization for Land Reclamation . Baghdad . Iraq .
- Seilsepour , M . , M . Rashidi and B. G. Khabbaz . 2009. Prediction of Soil Exchangeable Sodium Percentage Based on Soil Sodium Adsorption Ratio . American-Eurasian J. Agric. & Environ. Sci. 5(1): 1 – 4 .
- Simunek , J . , N . J . Jarvis , M . Van Genuechten and A . Gardenas . 2003 . Review and compartion of model for describing non-equilibrium and preferential flow and transport in the vadose zone . J . Hydrol. 272 : 14 – 35 .
- Saudi Arabia and its predictive effect on soil properties. Pak.J.Biol.Sci. 11(3) : 332 – 341 .
- Bouaziz , M . , J . Matschullat and R . Gloaguen . 2011 . Improved remote sensing detection of soil salinity from a semi-arid climate in Northeast Brazil . C . R . Geoscience . 343 : 795 – 803 .
- Brus , D. J. and G . B. M. Heuvelink . 2007 . Optimization of sample patterns for universal kriging of environmental variables. Geoderma 138 : 86–95 .
- Douaika , A . , b. T. M . Van Meirvennea and T. Tothc . 2005 . Soil salinity mapping using spatio-temporal kriging and Bayesian maximum entropy with interval soft data .Geoderma 128 : 234– 248 .
- F.A.O. 2011. Country pasture / forage resource profiles : Iraq . FAO , Rome , Italy . P.34 .
- Iqbal , S . , F. Iqbal and F. Iqbal . 2010 . Satellite Sensing for Evaluation of an Irrigation System in Cotton - Wheat Zone . World Academy of Science, Engineering and Technology 47 : 261 – 266 .
- Jafari , R . , M . M . Lewis and B. Ostendorf . 2008 . An image-based diversity for assessing land degradation in an arid environment in South Australia. J. of Arid Envir.72:1282-1293.
- Jorenush , M . H . and A . R . Sepaskhah . 2003 . Modeling capillary rise and soil salinity for shallow saline water table and non-irrigated condition . Agric. Water Manag. 61 : 125 – 141 .
- Lark, R.M .2009. Kriging a soil variable with a simple nonstationary variance model. J. Agric. Biol. Environ. Stat. 14: 301–321.